

*М.К. Седанкин, В.Ю. Леушин, А.Г. Гудков, С.Г. Веснин,
И.А. Сидоров, С.В. Агасиева, Л.М. Овчинников, Н.А. Ветрова*

Антенны-аппликаторы для медицинских микроволновых радиотермографов

Аннотация

Обсуждаются вопросы физических основ микроволновой радиотермометрии, конструкции и технические характеристики различных типов антенн-аппликаторов, применяемых в медицинских радиотермографах. Представлены результаты разработки и перспективы использования новых типов антенн-аппликаторов в различных областях медицины.

Введение

Принцип действия микроволновых радиотермографов основан на регистрации микроволнового излучения биологических объектов (далее – БО), температура которых выше абсолютного нуля. Посредством измерения интенсивности излучения тела можно найти его температуру. Этот метод называется «микроволновая радиотермометрия» (далее – МР). МР относится к функциональной диагностике, основанной на методах пассивной радиотеплолокации [1]. В отличие от инфракрасной термографии, МР позволяет неинвазивно выявлять тепловые аномалии на глубине нескольких сантиметров. Сегодня МР используется для выявления рака молочной железы [2], меланомы [3], в мониторинге температуры головного мозга [4], в гинекологии [5] и других областях. В состав радиотермографа входят антenna-аппликатор (или несколько антенн-аппликаторов) и сверхчувствительный радиометрический приемник. По регистрируемой мощности БО определяется радиояркостная температура (далее – РТ), которая связана с термодинамической температурой как

$$T_{rad} = \int_{-\infty}^{\infty} T(r)W(r)dV, \quad (1)$$

где $T(r)$ – термодинамическая температура БО; $W(r)$ – радиометрическая весовая функция антены. Интегрирование ведется по объему БО V . $W(r)$ определяется как

$$W(r) = \frac{P}{P_0} = \frac{\frac{\sigma(r)}{2}|E(r)|^2}{\int_{-\infty}^{\infty} \frac{\sigma(r)}{2}|E(r)|^2 dV}, \quad (2)$$

где P – объемная плотность поглощения электромагнитной мощности; P_0 – полная рассеиваемая мощность; $E(r)$ – напряженность электрического поля антены; $\sigma(r)$ – электропроводность БО. Следовательно, РТ представляет собой усредненную термодинамическую температуру БО с весом $W(r)$.

Методы исследований

Прием микроволнового излучения в медицинских радиотермографах обеспечивается специально сконструированными антennами-аппликаторами, а именно печатными [6]-[10], волноводными [2], [4], вибраторными или рамочными [1], [10], а также внутриполостными антennами [5]. Волноводные антennы представляют собой отрезок волновода, контактирующий с БО. Наиболее распространены круглые волноводы, так как острые углы прямоугольного волновода травмируют пациента. Волноводная антenna соединена с входным каскадом радиотермометра с помощью коаксиального кабеля, поэтому на ее выходе устанавливается СВЧ-разъем. Согласование волновода проводится разными способами. Чаще всего используются щели в форме «бабочки» [5]. Волноводные антennы просты при проектировании, имеют малые электрические потери, высокую глубину измерения, достаточную помехозащищенность и приемлемое согласование с телом. Для того чтобы уменьшить размеры волновода, обычно увеличивают его диэлектрическую проницаемость ϵ . В частности, в работе [11] представлена антenna для работы в диапазоне $\lambda = 10$ см, имеющая

диаметр 8 мм и длину 4 мм. Волновод заполнен СВЧ-керамикой с $\epsilon = 80$. Для повышения помехозащищенности волноводные антennы помещают в дополнительные экраны. Недостатками применяемых волноводных антenn являются высокая стоимость и большие размеры. Также волноводная антenna охлаждает БО в области контакта, что влияет на измеряемую температуру. Для снижения влияния температуры антenn на температуру биоткани антенну подогревают. Следует отметить, что антennы, работающие в серийных приборах, представляют собой сложные устройства. Например, в радиотермометре РТМ-01-РЭС используется антenna, созданная на базе круглого волновода, имеющая систему термостабилизации, поддерживающую температуру антennы постоянной для обеспечения приближенного теплового равновесия между измерительной системой и БО. Также в антенну встроены: датчик касания, который фиксирует момент установки антennы на теле; датчик температуры корпуса, используемый при обработке данных; ИК-датчик для измерения температуры кожи.

Кроме волноводных, в МР в последние годы получили широкое распространение печатные антennы. В отличие от волноводных антenn, у которых излучателем является собственно волновод, излучатель печатной антennы напечатан непосредственно на подложке. Печатные антennы легче волноводных, дешевле, малогабаритны и оказывают меньшее влияние на температуру кожи. Однако необходимо учитывать, что эти антennы имеют более высокие электрические потери. Печатную антennу легче закрепить на теле пациента и совместить с другими медицинскими устройствами ввиду малой высоты. Можно выделить следующие разновидности печатных антenn-аппликаторов: спиральные [6], эллиптические [7], *patch*-антennы [8], щелевые [9], вибраторные [10]. Во многих случаях печатные антennы-аппликаторы используются совместно с так называемым болюсом. Болюс представляет собой тонкий слой диэлектрика, размещенный между антенной и БО. Болюс позволяет согласовать антенну и увеличить расстояние между излучателем и БО с целью компенсации возникающих реактивных полей. Это позволяет увеличить глубину измерения температуры. Размеры болюса, как правило, немного больше или равны размеру рабочей апертуры антennы.

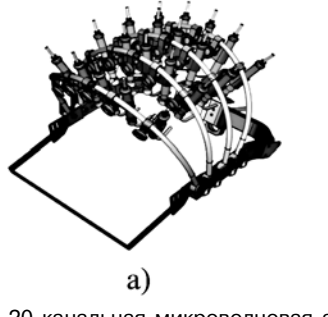
Вибраторные антennы изготавливаются из тонкой пружинной проволоки. Обычно длина рамки по периметру составляет λ_{BO} (длина волны в БО). Возбуждают рамку с помощью коаксиального кабеля. Для уменьшения вытекания тока на экран коаксиального кабеля используют запирающую конструкцию длиной, равной четверти длины волны в свободном пространстве. Эти антennы имеют хорошее согласование, хороший контакт с телом, простую конструкцию и низкую стоимость, компактны. Кроме того, они практически не оказывают влияния на температуру кожи. Подобные антennы могут быть снабжены проводящими штырями, проходящими сквозь волосяной покров. Это позволяет существенно улучшить согласование антennы с кожей. Основной недостаток таких антenn – низкая помехозащищенность. Так как они не имеют экрана, помехи наводятся на незащищенный излучатель. По сравнению с волноводными, вибраторные антennы имеют меньшую глубину измерения и высокие электрические потери.

В работе [10] предложено использовать для мониторинга температуры в процессе гипертермии замкнутые щелевые ан-

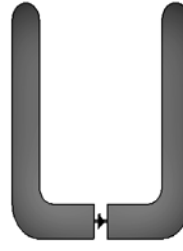
тенные. Они напечатаны на подложке небольшой толщины. Для согласования с телом рабочая поверхность антенн покрыта слоем силикона. Любые антенны для МР должны удовлетворять следующим требованиям: хорошее согласование с БО, минимальное влияние на температуру кожи, приемлемая помехозащищенность, хорошие гигиенические свойства и малые потери.

В медицинской практике часто используют методы охлаждения и нагрева тканей. Важно контролировать температуру внутри опухоли при ее термической деструкции (гипертермии). Очевидно, что для повышения уровня сигнала на входе радиометра следовало бы максимально увеличивать эффективную площадь антennы. Однако применительно к рассматриваемым медицинским приложениям этот путь ограничивается требованиями обеспечения необходимого пространственного разрешения исследуемых участков БО, а также оперативности и надежности проводимых исследований, требующих одновременного обследования пациентов в нескольких точках, например в двадцати точках. Эти требования могут быть в наибольшей степени удовлетворены путем реализации многоканальных антенных решеток, предназначенных для использования в медицинских радиотермографах. В качестве примера на рис. 1а представлена трехмерная модель макета 20-канальной микроволновой антенной решетки системы радиотермокартирования мозга. С целью выбора типа антennы для использования в составе антенной решетки было проведено моделирование степени согласования характеристик вибраторной, спиральной и резонансно-щелевой антenn, а также характеристик поглощения излучаемой электромагнитной энергии в ближней зоне, электрофизические параметры которой имитировали БО. Для моделирования характеристик вибраторной антennы был выбран симметричный диполь, плечи которого, с целью снижения габаритных размеров, имеют U-образную форму. Проекция токонесущих элементов антennы на поверхность БО составляет 26×27 мм. Модель, применяемая в расчетах КСВН и характеристик поглощения при работе на БО, показана на рис. 1б. В качестве интегрального параметра эффективности антenn использовалась объемная плотность поглощения электромагнитной мощности P_n , Вт/м², равная

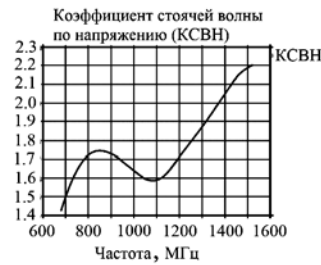
$$P_n = \frac{\sigma}{2} E^2. \quad (3)$$



а)

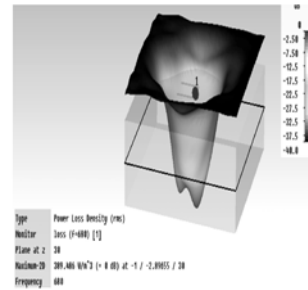


б)

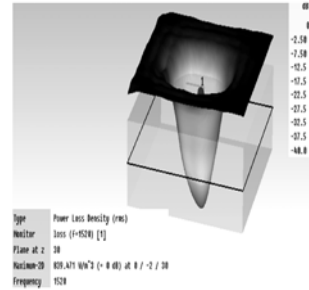


в)

Рис. 1. 20-канальная микроволновая антенная решетка (а); модель U-образной вибраторной антennы (б); расчетная КСВН вибраторной антennы (в)



а)



б)

Рис. 2. Распределение объемной плотности поглощения U-образной вибраторной антennы-аппликатора:
а) частота 680 МГц; б) частота 1520 МГц

Параметр P_n обычно используют при анализе передающих антenn, размещенных вблизи БО, он численно равен $W(r)$ антennы и характеризует область, в которой производится изменение РТ. Диапазон частот исследования параметров антenn составил 680...1520 МГц. Рабочая поверхность антennы непосредственно соприкасалась с телом. Модель БО представляла собой параллелепипед размерами $160 \times 160 \times 60$ мм³. Его электрические свойства соответствовали мышечной и костной тканям. Модель антennы возбуждалась дискретным портом с выходным сопротивлением 50 Ом.

Результаты

График зависимости КСВН U-образной модели вибраторной антennы от частоты представлен на рис. 1в. Пространственные зависимости объемной плотности поглощаемой мощности P на частотах 680 и 1520 МГц на глубине 30 мм БО представлены на рис. 2. На частоте 680 МГц распределение P в области максимума имеет слабо выраженный седлообразный характер. Это связано с формой диполя, а не с его избыточной длиной, так как на более высоких частотах, вплоть до 1520 МГц, распределение максимума P имеет однолепестковый вид. Аналогичные исследования проводились также для двух других моделей антenn: спиральной и резонансно-щелевой. Расчеты проведены в среде электродинамического моделирования методом конечных разностей во временной области (*finite-difference time domain*).

Анализ распределения объемной плотности поглощенной мощности P_n указанных выше трех типов антenn в ближней зоне показал, что эти распределения имеют в основном остронаправленный характер и, следовательно, удовлетворяют требованиям однозначности отклика и могут эффективно использоваться в многоканальных антенных решетках МР. Преимуществом вибраторной антennы является то, что она может быть выполнена в печатном исполнении.

В целом представленные результаты моделирования показали, что печатные антennы являются наиболее перспективными для применения их в составе многоканальных медицинских радиотермографов. Кроме того, в интересах экспериментальной онкологии разработаны сверхминиатюрные печатные антennы с размерами рабочей апертуры не более 3×3 мм². Это позволяет радикально миниатюризовать сенсорную часть радиотермометра.

Так как БО имеет поверхность сложной формы (рис. 3а), для измерения внутренней температуры целесообразнее применять гибкие конформные антенны, которые могут обеспечить хороший контакт с телом пациента. Печатные антенны, изготовленные из текстильных материалов, которые часто называют «текстильными антеннами», могут изгибаться и повторять анатомию тела. Такие антенны можно встраивать в элементы одежды (рис. 3а). Для приема сигналов этих антенн разработан специальный миниатюрный радиотермометр с габаритными размерами $34 \times 24 \times 20$ мм³ (рис. 3б). Подобные антенны можно будет встраивать в бюстгальтер для ранней диагностики, осуществлять динамический термомониторинг при воздействии нагрузок и функциональных пробах.

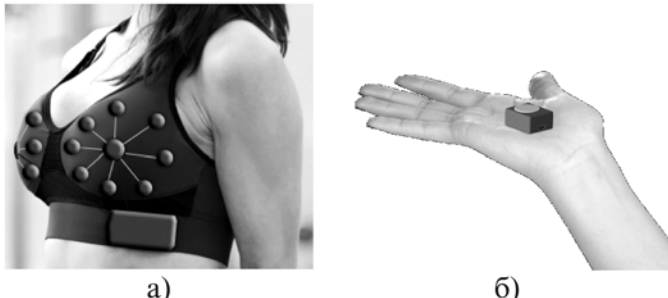


Рис. 3. Диагностический бюстгальтер (а); миниатюрный радиотермометр (б)

Заключение

Применение печатных антенн для МР открывает огромные перспективы развития данного метода и расширения области его применения. Сегодня минимальные размеры печатной антенны составляют 3×3 мм², что позволяет встраивать такую antennу в различные медицинские приборы. Создание текстильных печатных антенн открывает возможность встраивания антенн в элементы одежды и создания приборов для мониторинга температуры. В отличие от традиционных волноводных антенн, которые представляют собой сложное и дорогое изделие, изготавливаемое на фрезерном станке и требующее гальванического покрытия, текстильные антенны изготавливаются с использованием швейного оборудования, что значительно снижает их стоимость. Наряду с миниатюризацией радиотермографа открывается возможность создания приборов для индивидуального применения. Практическое внедрение разработок будет заключаться в создании инновационной продукции, встраивании устройств МР в состав диагностических средств радиологического оборудования, медицинских роботехнических комплексов и пр.

Список литературы:

1. Гуляев Ю.В., Гудков А.Г., Леушин В.Ю. и др. Приборы для диагностики патологических изменений в организме человека методами микроволновой радиометрии // Нанотехнологии: разработка, применение – XXI век. 2017. № 2. Т. 9. С. 27-45.
2. Синельникова О.А., Керимов Р.А., Синюкова Г.Т. Сверхвысокочастотная радиотермометрия в оценке эффективности неoadъюватного лечения рака молочной железы // Онкогинекология. 2014. № 2. С. 55-66.
3. Козлов С.В., Неретин Е.Ю. Сравнительный анализ методов преинвазивной диагностики меланомы кожи // Саратовский научно-медицинский журнал. 2013. Т. 9. № 1. С. 88-91.
4. Shevelev O.A. et al. Diagnostic opportunities of noninvasive brain thermomonitoring // Anesthesiology and Intensive Care. 2015. Vol. 60. № 1. PP. 66-69.
5. Vesnin S.G., Sedankin M.K., Chupina D.N. Application of modern technologies of mathematical simulation for the development of medical equipment / 11th IEEE Inter. Conference on AICT. 20-22 Sep. 2017, Moscow, Russia. PP. 425-429.
6. Jacobsen S., Stauffer P. Multi-frequency radiometric determination of temperature profiles in a lossy homogenous phantom using a dual-mode antenna with integral water bolus // IEEE Trans. Micr. Theory. Tech. 2002. № 50. PP. 1737-1746.
7. Klemetsen O., Jacobsen S. Improved radiometric performance attained by an elliptical microwave antenna with suction // IEEE Trans. Biomed. Engineering. 2012. Vol. 59 (1). PP. 263-271.
8. Bardati F., Iudicello S. Modeling the visibility of breast malignancy by a microwave radiometer // IEEE Trans. Biomed. Engineering. 2008. Vol. 55. № 1. PP. 214-221.
9. Beaucamp-Ricard C. et al. Temperature measurement by microwave radiometry // IEEE Trans. Instrument. Measurement. 2009. Vol. 58. № 5. PP. 1712-1719.
10. Tofiqhi M.-R. Characterization of biomedical antennas for microwave heating, radiometry, and implant communication applications / 12th Wireless and Microwave Technology Conference (WAMICONP). Clearwater Beach, 2011. PP. 1-6.
11. Веснин С.Г., Седанкин М.К. Миниатюрные антенны-аппликаторы для микроволновых радиотермометров медицинского назначения // Биомедицинская радиоэлектроника. 2011. № 10. С. 51-56.

Михаил Константинович Седанкин,
канд. техн. наук, научный сотрудник,
отдел СОиАРИ РТК,
ФГБУ «ГНИИЦ РТ» МО РФ,
Виталий Юрьевич Леушин,
канд. техн. наук, зам. генерального директора,
ООО «НПИ ФИРМА «ГИПЕРИОН»,
Александр Григорьевич Гудков,
д-р техн. наук, профессор,
ФГБОУ ВО «МГТУ им. Н.Э. Баумана»,
Сергей Георгиевич Веснин,
канд. техн. наук, генеральный директор,
ООО «Фирма «РЭС»,
Игорь Александрович Сидоров,
канд. техн. наук, начальник отдела,
АО «Концерн «Вега»,
Светлана Викторовна Агасиева,
канд. техн. наук, доцент,
ФГАОУ ВО «Российский университет
дружбы народов»,
Лев Михайлович Овчинников,
программист,
ООО «РТМ Диагностика»,
Наталья Алексеевна Ветрова,
канд. техн. наук, доцент,
ФГБОУ ВО «МГТУ им. Н.Э. Баумана»,
г. Москва,
e-mail: ooo.giperion@gmail.com